

ANÁLISE DA RESPOSTA EM FREQUÊNCIA

DIAGRAMAS DE BODE

Profa. Cristiane Paim

Introdução

O termo resposta em frequência representa a resposta em regime permanente de um sistema para uma entrada senoidal.

Considere um sistema descrito por sua função de transferência

$$G(s) = \frac{Y(s)}{R(s)}$$

e uma entrada senoidal do tipo

$$r(t) = A \operatorname{sen}(\omega t)$$

Introdução

No domínio da frequência

$$R(s) = \frac{A\omega}{s^2 + \omega^2}$$

Sendo o sistema linear, estável e invariante no tempo, sua resposta será definida por

$$Y(s) = \frac{A\omega}{s^2 + \omega^2} G(s)$$

Na resposta em regime permanente as parcelas associadas aos polos tenderão para zero, uma vez que o sistema é estável, restando apenas a parcela associada à entrada senoidal.

Introdução

Assim, em regime permanente tem-se:

$$y_{\infty} = A |G(j\omega)| \left\{ \frac{e^{j(\omega t + \phi)} - e^{-j(\omega t + \phi)}}{2j} \right\}$$

ou

$$y_{\infty} = B \operatorname{sen}(\omega t + \phi)$$

sendo

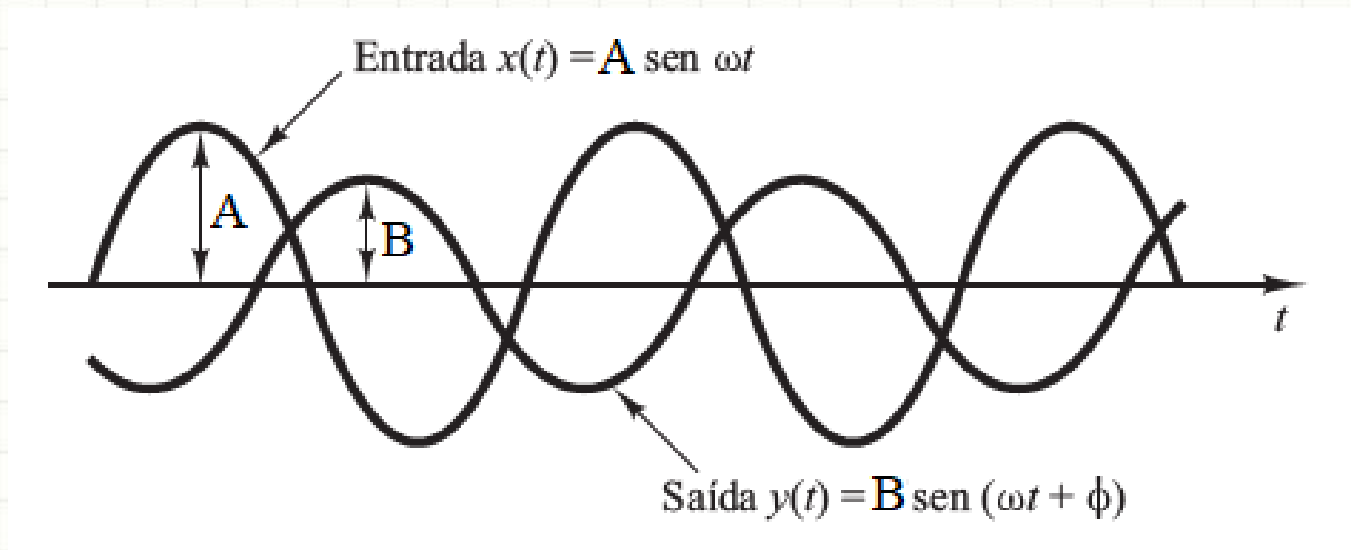
e

$$B = A |G(j\omega)|$$

$$\phi = \angle G(j\omega)$$

Introdução

Portanto, a saída em regime permanente de um sistema submetido a uma entrada senoidal é também senoidal com amplitude B defasada da entrada por um fator ϕ .



$$B = A |G(j\omega)|$$

$$\phi = \angle G(j\omega)$$

Introdução

Deste modo, as características da resposta em regime permanente de um sistema sujeito a uma entrada senoidal são diretamente obtidas da chamada **Função de Transferência Senoidal**:

$$G(j\omega) = \frac{Y(j\omega)}{R(j\omega)}$$

A análise da resposta em frequência pode ser feita utilizando três representações:

- Diagramas de Bode
- Carta de Nichols
- Diagramas Polares

Introdução

- **Diagramas de Bode**

Gráfico logarítmico de módulo (em dB)

Gráfico logarítmico de fase (em graus)

- **Carta de Nichols**

Gráfico de módulo (em dB) *versus* fase (em graus)

- **Diagrama de Polar**

Gráfico $\text{Re}[G(j\omega)]$ *versus* $\text{Im}[G(j\omega)]$

Diagramas de Bode

Seja a função de transferência

$$G(j\omega) = K \frac{(j\omega + z_1)(j\omega + z_2) \cdots (j\omega + z_m)}{(j\omega + p_1)(j\omega + p_2) \cdots (j\omega + p_n)}$$

O módulo, em escala logarítmica, será definido por

$$\log |G(j\omega)| = \log K + \log |j\omega + z_1| \cdots + \log |j\omega + z_m| + \\ - \log |j\omega + p_1| \cdots - \log |j\omega + p_n|$$

Em decibéis:

$$|G(j\omega)|_{\text{dB}} = 20 \log |G(j\omega)|$$

Diagramas de Bode

A fase, será definida por:

$$\angle G(j\omega) = \angle(j\omega + z_1) + \dots + \angle(j\omega + z_m) + \\ - \angle(j\omega + p_1) - \dots - \angle(j\omega + p_n)$$

Desse modo as curvas de módulo e fase podem ser obtidas da soma das curvas associadas a cada termo da função de transferência (ganho, fatores integrais e derivativos, fatores de 1ª e 2ª ordem).

Diagramas de Bode – Ganho (K)

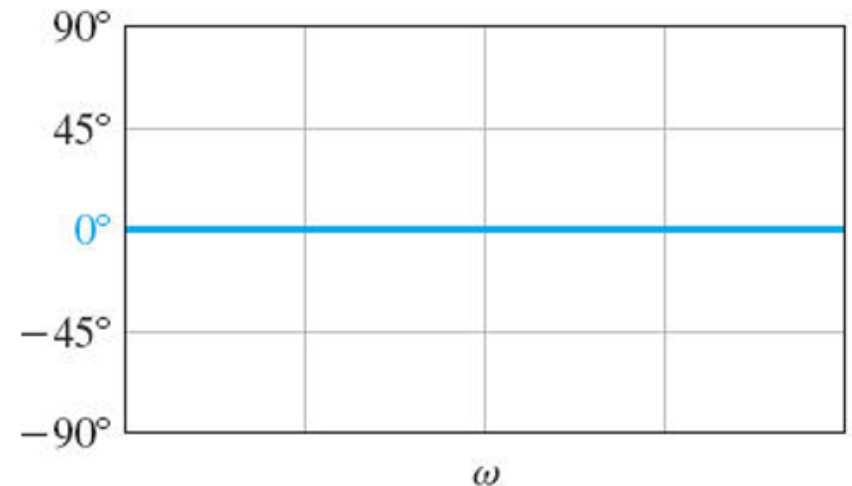
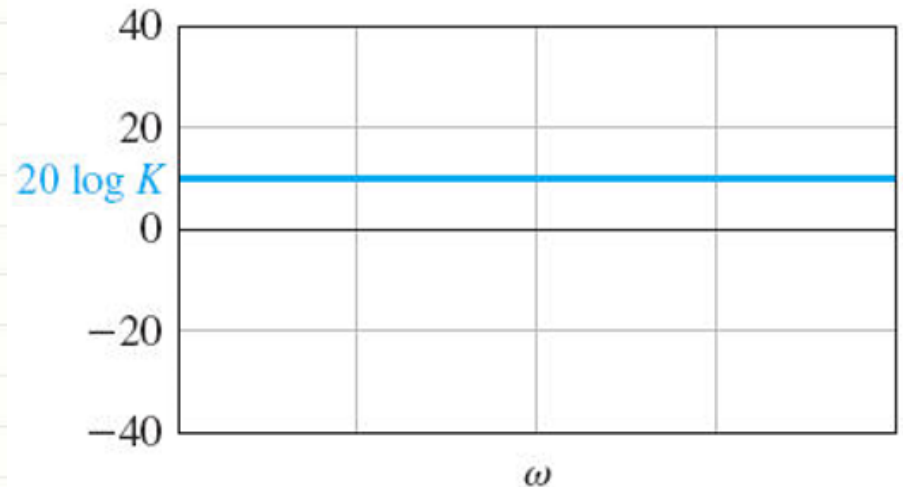
Neste caso:

$$G(j\omega) = K$$

Tem-se:

$$|G(j\omega)|_{\text{dB}} = 20 \log K$$

$$\angle G(j\omega) = \angle K = 0^\circ$$



Diagramas de Bode – Fatores Integrais ou Derivativos (polos ou zeros na origem)

Polo na origem

$$G(j\omega) = \frac{1}{j\omega}$$

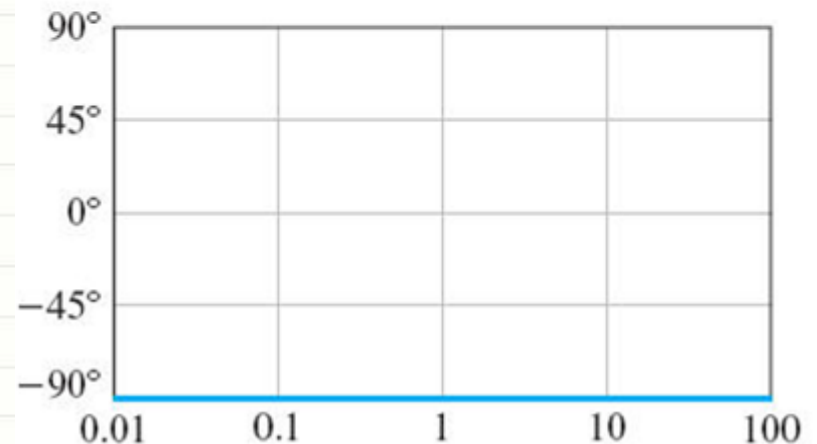
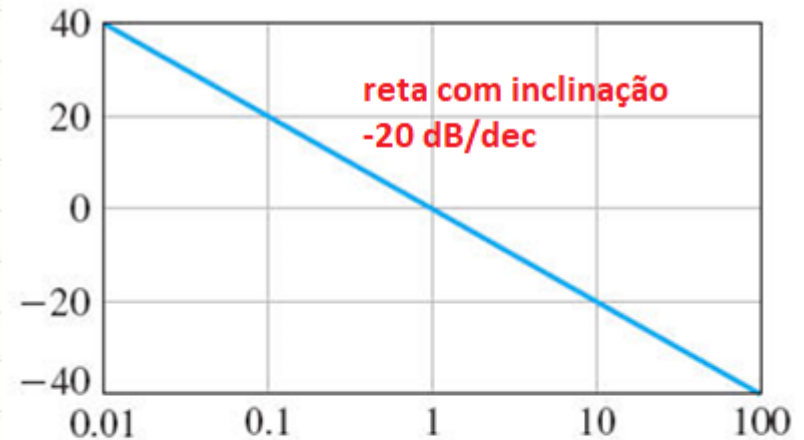
$$|G(j\omega)|_{\text{dB}} = -20 \log \omega$$

$$\angle G(j\omega) = -90^\circ$$

Multiplicidade n:

$$|G(j\omega)|_{\text{dB}} = -20 \times n \log \omega$$

$$\angle G(j\omega) = -90^\circ \times n$$



Diagramas de Bode – Fatores Integrais ou Derivativos (polos ou zeros na origem)

Zero na origem

$$G(j\omega) = j\omega$$

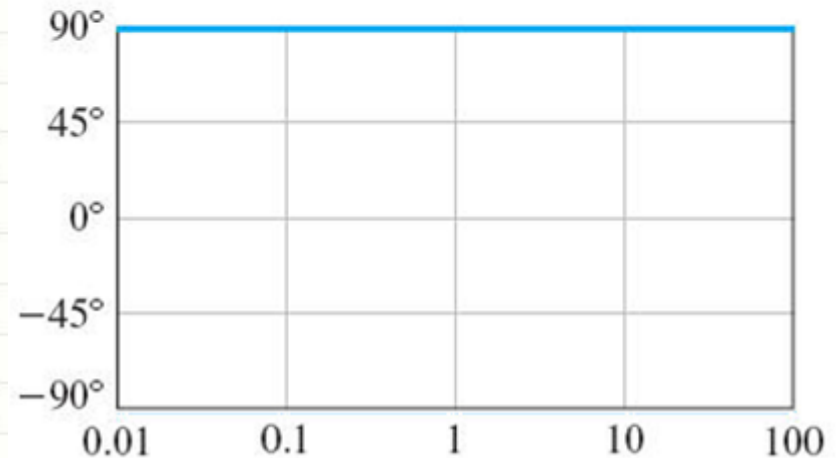
$$|G(j\omega)|_{\text{dB}} = 20 \log \omega$$

$$\angle G(j\omega) = 90^\circ$$

Multiplicidade n:

$$|G(j\omega)|_{\text{dB}} = 20 \times n \log \omega$$

$$\angle G(j\omega) = 90^\circ \times n$$



Diagramas de Bode – Polo de 1ª ordem

Polo de 1ª ordem

$$G(j\omega) = \frac{1}{1 + j\omega T}$$

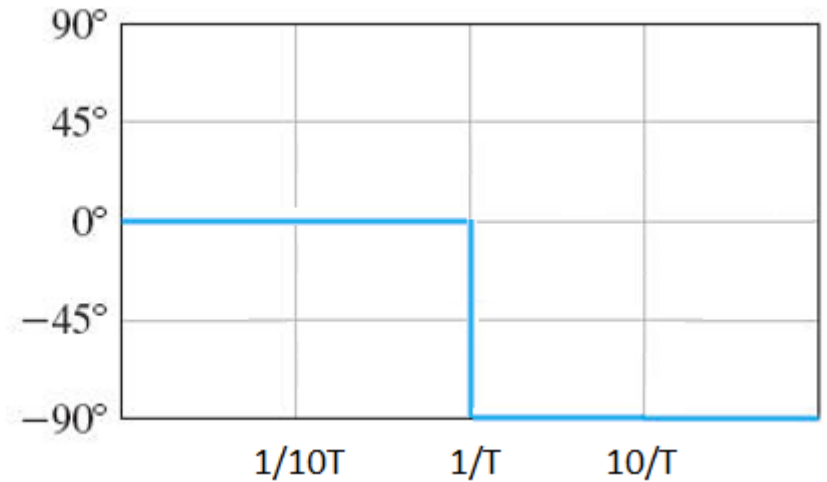
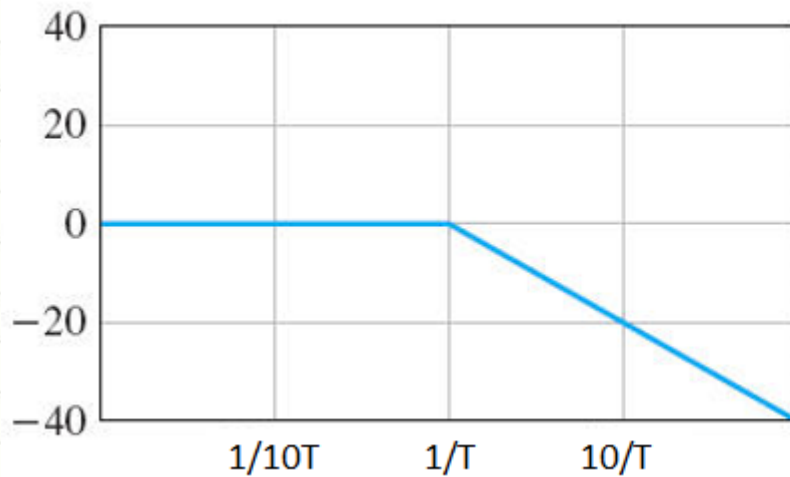
$$\begin{aligned} |G(j\omega)|_{\text{dB}} &= -20 \log \sqrt{1 + (\omega T)^2} \\ \angle G(j\omega) &= -\text{tg}^{-1}(\omega T) \end{aligned}$$

Em frequências baixas ($\omega \ll 1/T$) e altas ($\omega \gg 1/T$), tem-se:

Frequência	Módulo	Fase
$\omega \ll 1/T$	Reta com inclinação 0 dB	0°
$\omega \gg 1/T$	Reta com inclinação -20 dB/dec	-90°

Diagramas de Bode – Polo de 1ª ordem

Assintoticamente tem-se:



Na curva real, para $\omega = 1/T$:

$$|G|_{\text{dB}} = -20 \log \sqrt{2} = -3 \text{dB}$$

$$\angle G = -45^\circ$$

Exemplo – Polo Simples

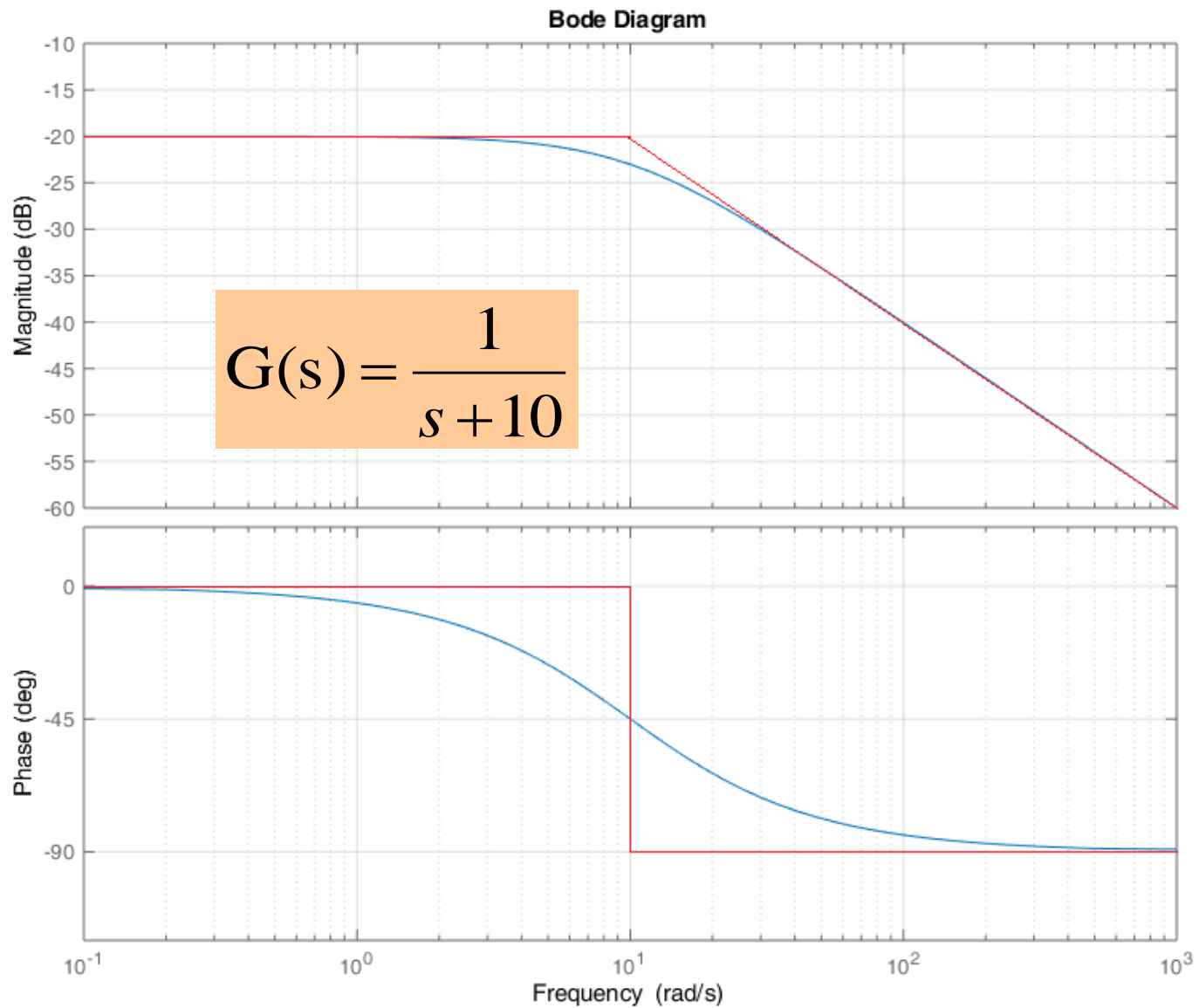
Seja a função de transferência com um polo real:

$$G(s) = \frac{1}{s + 10} \Rightarrow G(j\omega) = \frac{0,1}{1 + j\omega/10}$$

Valores reais:

Frequência	Módulo	Fase
$\omega = 0,1$	-20 dB	0°
$\omega = 1$	-20 dB	-6°
$\omega = 10$	-23 dB	-45°
$\omega = 100$	-40 dB	-84°
$\omega = 1000$	-60 dB	-90°

Exemplo – Polo Simples



Diagramas de Bode – Polo de 1ª ordem com multiplicidade

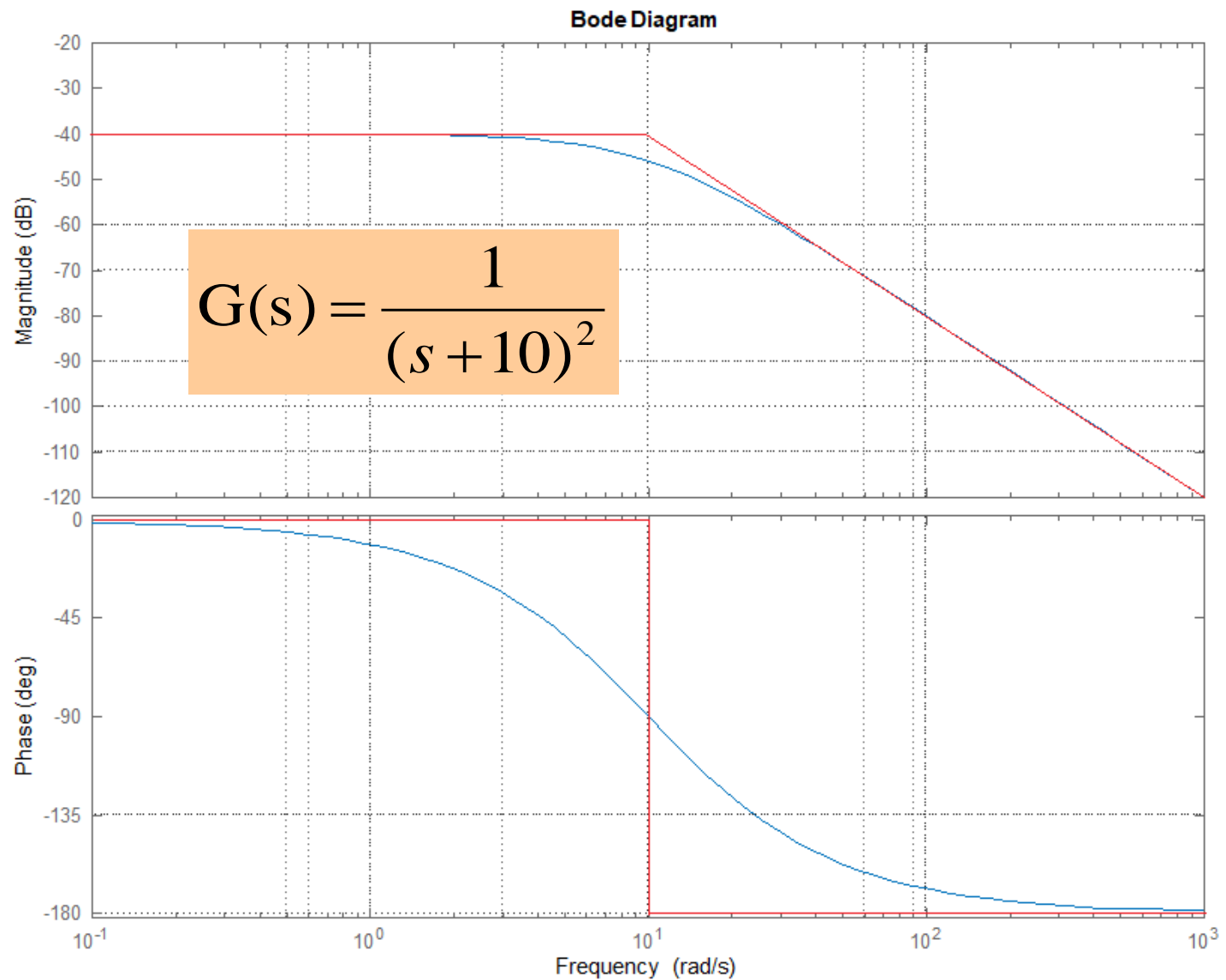
Seja um sistema com um polo real de multiplicidade n :

$$G(j\omega) = \frac{1}{(1 + j\omega T)^n}$$

$$|G(j\omega)|_{\text{dB}} = -20 \times n \times \log \sqrt{1 + (\omega T)^2}$$

$$\angle G(j\omega) = -n \times \text{tg}^{-1}(\omega T)$$

Exemplo – Polo Duplo

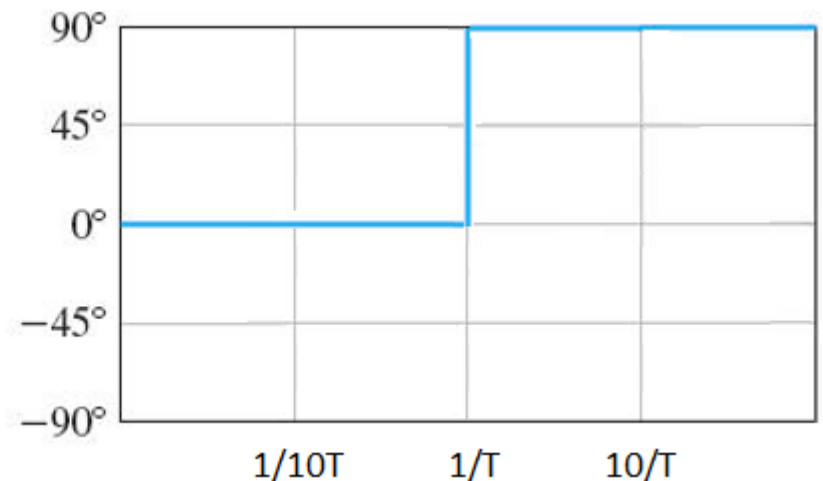
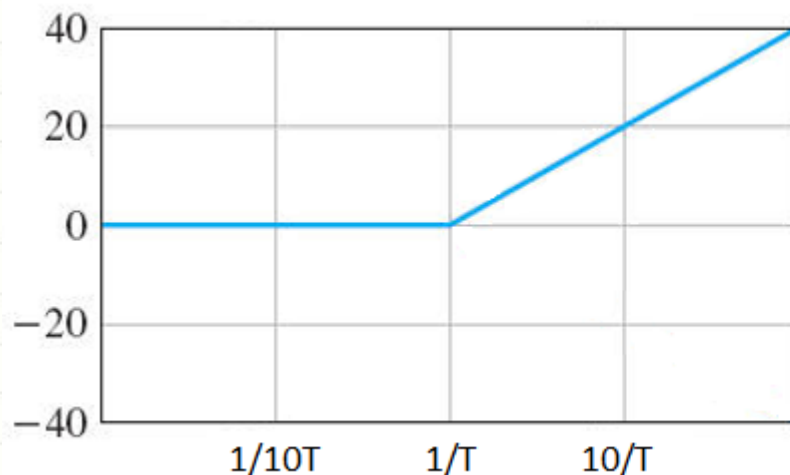


Diagramas de Bode – Zero de 1ª ordem

Zero de 1ª ordem

$$G(j\omega) = 1 + j\omega T$$

$$|G(j\omega)|_{\text{dB}} = 20 \log \sqrt{1 + (\omega T)^2}$$
$$\angle G(j\omega) = \text{tg}^{-1}(\omega T)$$



Diagramas de Bode – Polos complexos

Polos complexos ($0 < \xi < 1$)

$$G(j\omega) = \frac{1}{1 + 2\xi \left(\frac{j\omega}{\omega_n} \right) + \left(\frac{j\omega}{\omega_n} \right)^2}$$

Neste caso, o módulo é dado por:

$$|G(j\omega)| = \frac{1}{\sqrt{\left(1 - \frac{\omega^2}{\omega_n^2} \right)^2 + \left(2\xi \frac{\omega}{\omega_n} \right)^2}}$$

Diagramas de Bode – Polos complexos

E a fase:

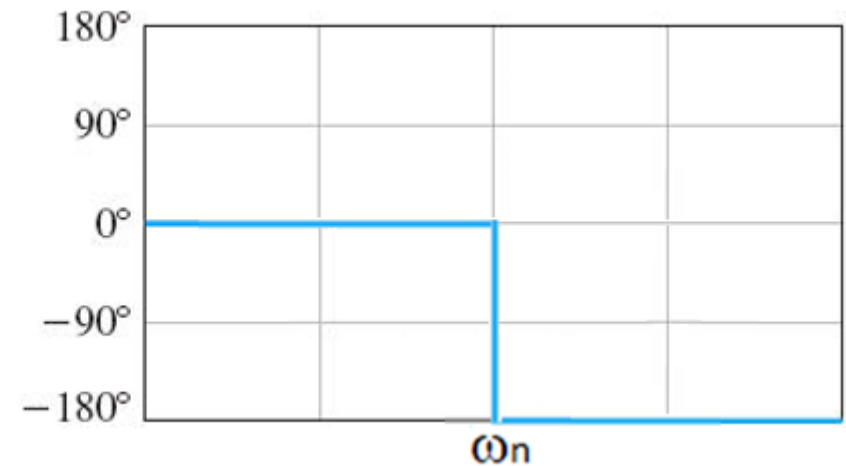
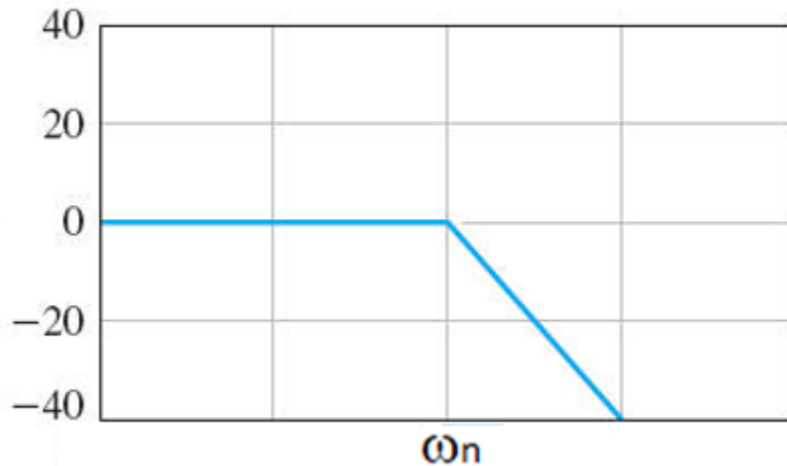
$$\angle G(j\omega) = -\operatorname{tg}^{-1} \left[\frac{2\xi(\omega/\omega_n)}{1 - (\omega^2/\omega_n^2)} \right]$$

Em frequências baixas ($\omega \ll \omega_n$) e altas ($\omega \gg \omega_n$), tem-se:

Frequência	Módulo	Fase
$\omega \ll \omega_n$	Reta com inclinação 0 dB/dec	0°
$\omega \gg \omega_n$	Reta com inclinação -40 dB/dec	-180°

Diagramas de Bode – Polos complexos

Assintoticamente tem-se:



Na curva real, a transição de baixa para alta frequência depende do valor do coeficiente de amortecimento ξ , podendo existir picos no gráfico de módulo.

Diagramas de Bode – Polos complexos

Para $0 < \xi < 0,707$ ocorrem picos de ressonância.

A **frequência de ressonância** é determinada por:

$$\omega_R = \omega_n \sqrt{1 - 2\xi^2}$$

e o **pico de ressonância** dado por:

$$M_R = \frac{1}{2\xi \sqrt{1 - \xi^2}}$$

Diagramas de Bode – Polos complexos

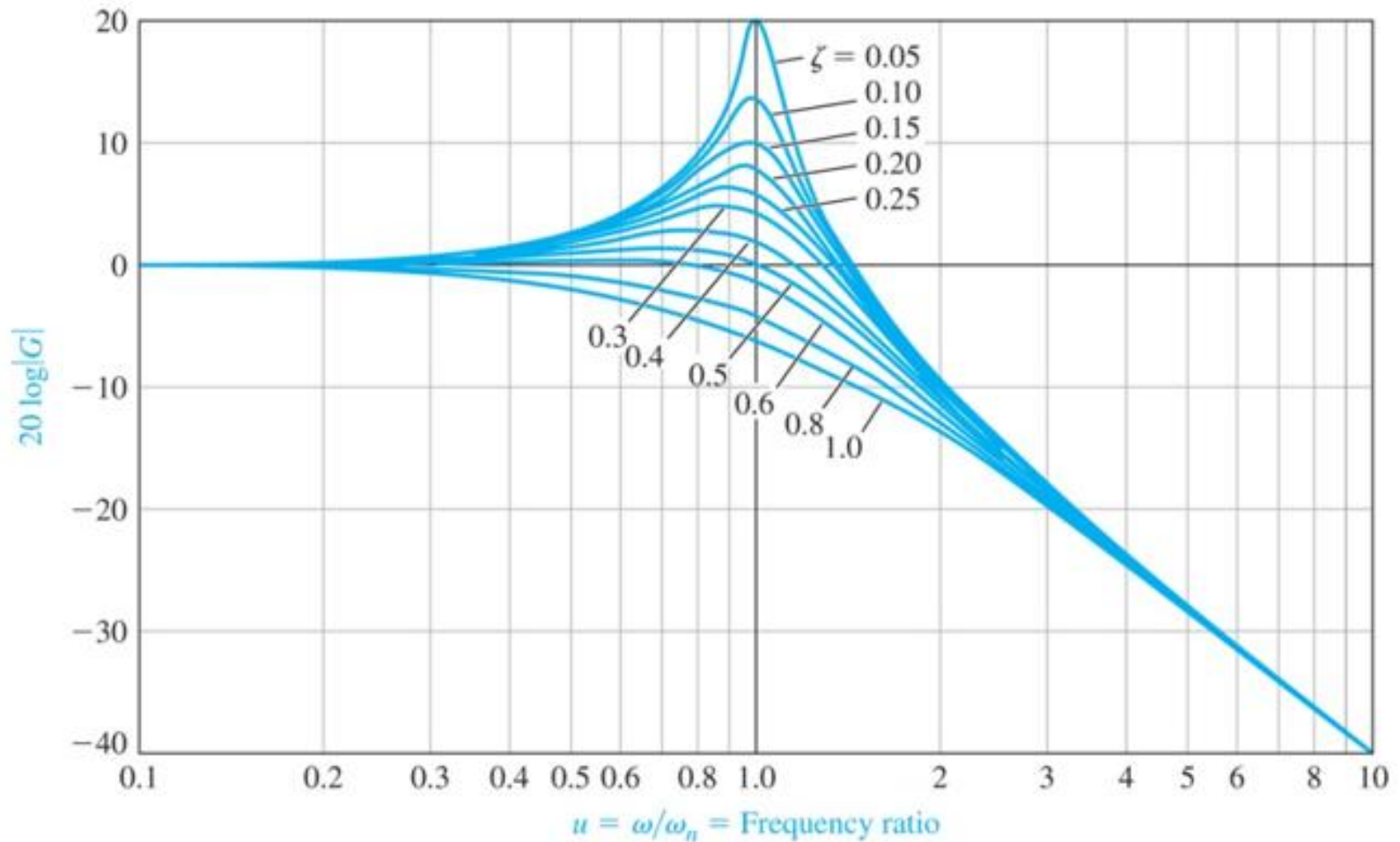
A curva de fase também depende do valor do coeficiente de amortecimento ξ :

$$\angle G(j\omega_R) = -\operatorname{tg}^{-1}\left(\frac{\sqrt{1-2\xi^2}}{\xi}\right)$$

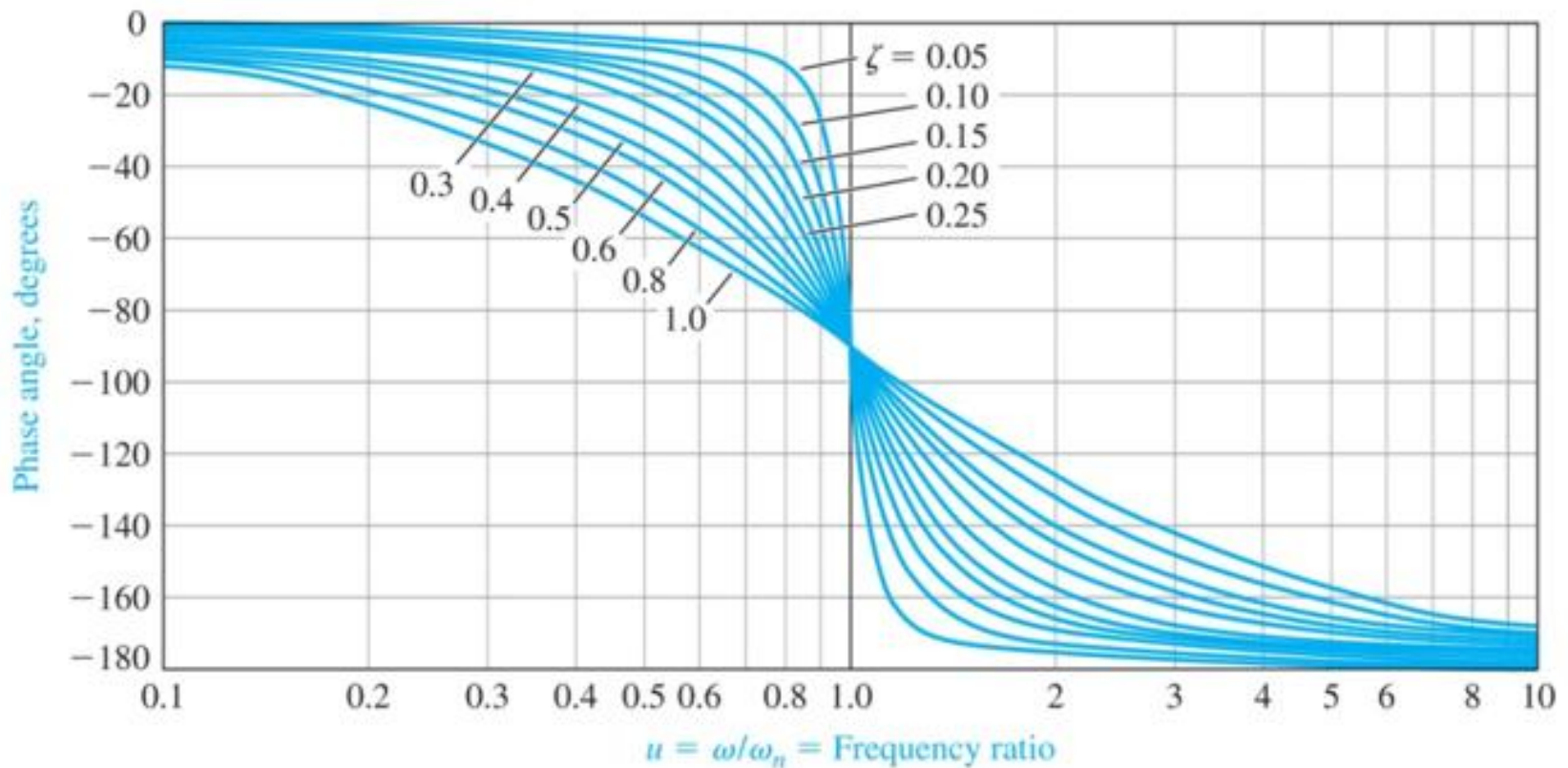
ou

$$\angle G(j\omega_R) = -90^\circ + \operatorname{sen}^{-1}\left(\frac{\xi}{\sqrt{1-2\xi^2}}\right)$$

Diagramas de Bode – Polos complexos (Módulo em função de ξ)



Diagramas de Bode – Polos complexos (Fase em função de ξ)



Exemplo 1 – Polos e zeros complexos

Traçar os diagramas de Bode para:

$$G(s) = 0,01 \frac{s^2 + 0,01s + 1}{s^2(0,25s^2 + 0,01s + 1)}$$

Em frequência:

$$\begin{cases} \xi = 0,005 \\ \omega_n = 1 \end{cases}$$

$$G(j\omega) = 0,01 \frac{1 + 2 \times 0,005(j\omega) + (j\omega)^2}{(j\omega)^2 \left[1 + 2 \times 0,01 \left(\frac{j\omega}{2} \right) + \left(\frac{j\omega}{2} \right)^2 \right]}$$

$$\begin{cases} \xi = 0,01 \\ \omega_n = 2 \end{cases}$$

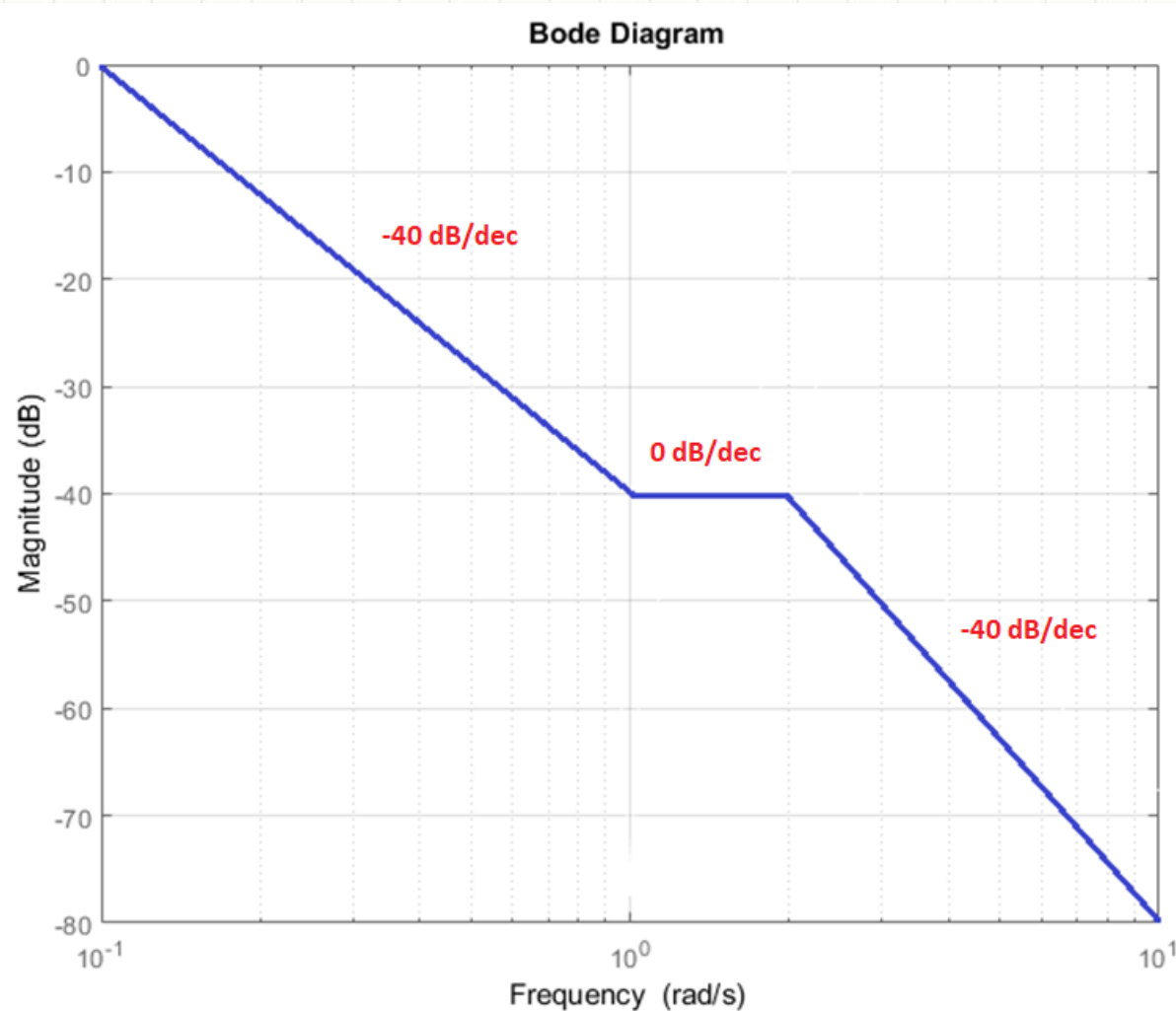
Exemplo 1 – Polos e zeros complexos

Variação e assíntotas de módulo

Faixa de Frequência	Variação do Módulo
$\omega = 0$ a $\omega = 1$	Reta com inclinação -40 dB/dec
$\omega = 1$ a $\omega = 2$	Reta com inclinação 0 dB/dec
$\omega = 2$ a $\omega \rightarrow \infty$	Reta com inclinação -40 dB/dec

Frequência	Valor assintótico de módulo
$\omega = 0,1$	0 dB
$\omega = 1$	-40 dB
$\omega = 2$	-40 dB
$\omega = 20$	-80 dB

Exemplo 1 – Polos e zeros complexos (gráfico assintótico de módulo)



Exemplo 1 – Polos e zeros complexos

1º Pico de Ressonância

$$\omega_n = 1 \rightarrow \omega_R = \omega_n \sqrt{1 - 2\xi^2} \approx 1$$

$$M_R = \frac{1}{2\xi\sqrt{1-\xi^2}} = 100 \quad \text{ou} \quad M_R = 40\text{dB}$$

Em $\omega=1$ ocorre o primeiro pico de ressonância.

Nesta frequência o valor de módulo é $-40-40 = -80$ dB.


valor assintótico pico de ressonância

Exemplo 1 – Polos e zeros complexos

2º Pico de Ressonância

$$\omega_n = 2 \rightarrow \omega_R = \omega_n \sqrt{1 - 2\xi^2} \approx 2$$

$$M_R = \frac{1}{2\xi\sqrt{1-\xi^2}} = 50 \quad \text{ou} \quad M_R = 34\text{dB}$$

Em $\omega=2$ ocorre o segundo pico de ressonância.

Nesta frequência o valor de módulo é $-40+34=-6$ dB.

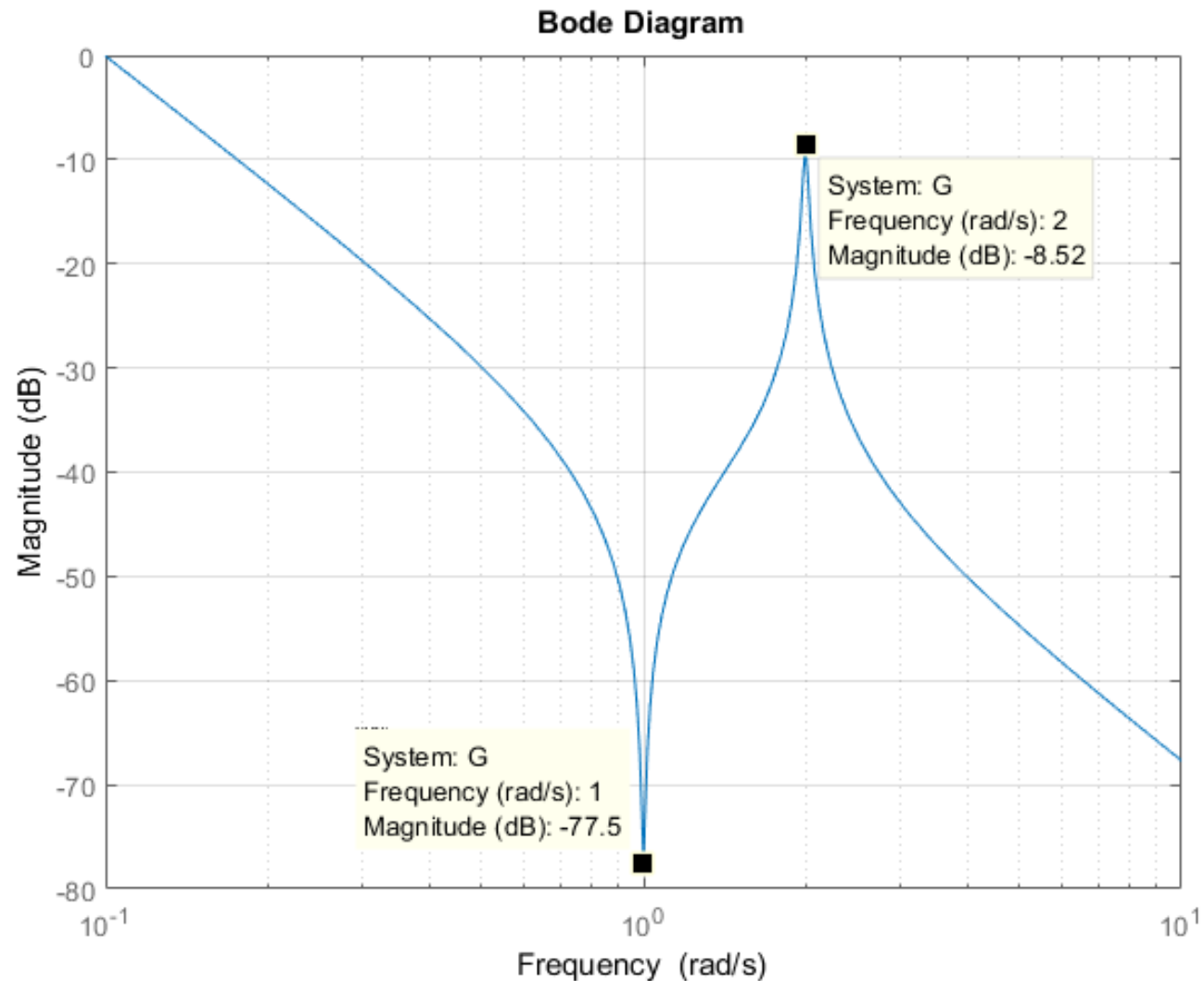

valor assintótico pico de ressonância

Exemplo 1 – Polos e zeros complexos

Valores reais e assintóticos de módulo

Frequência	Assintótico	Real
$\omega = 0,1$	0 dB	0 dB
$\omega = 1$	-40 dB	-77,5 dB
$\omega = 2$	-40 dB	-8,5 dB
$\omega = 20$	-80 dB	-80 dB

Exemplo 1 – Polos e zeros complexos (Gráfico de módulo)



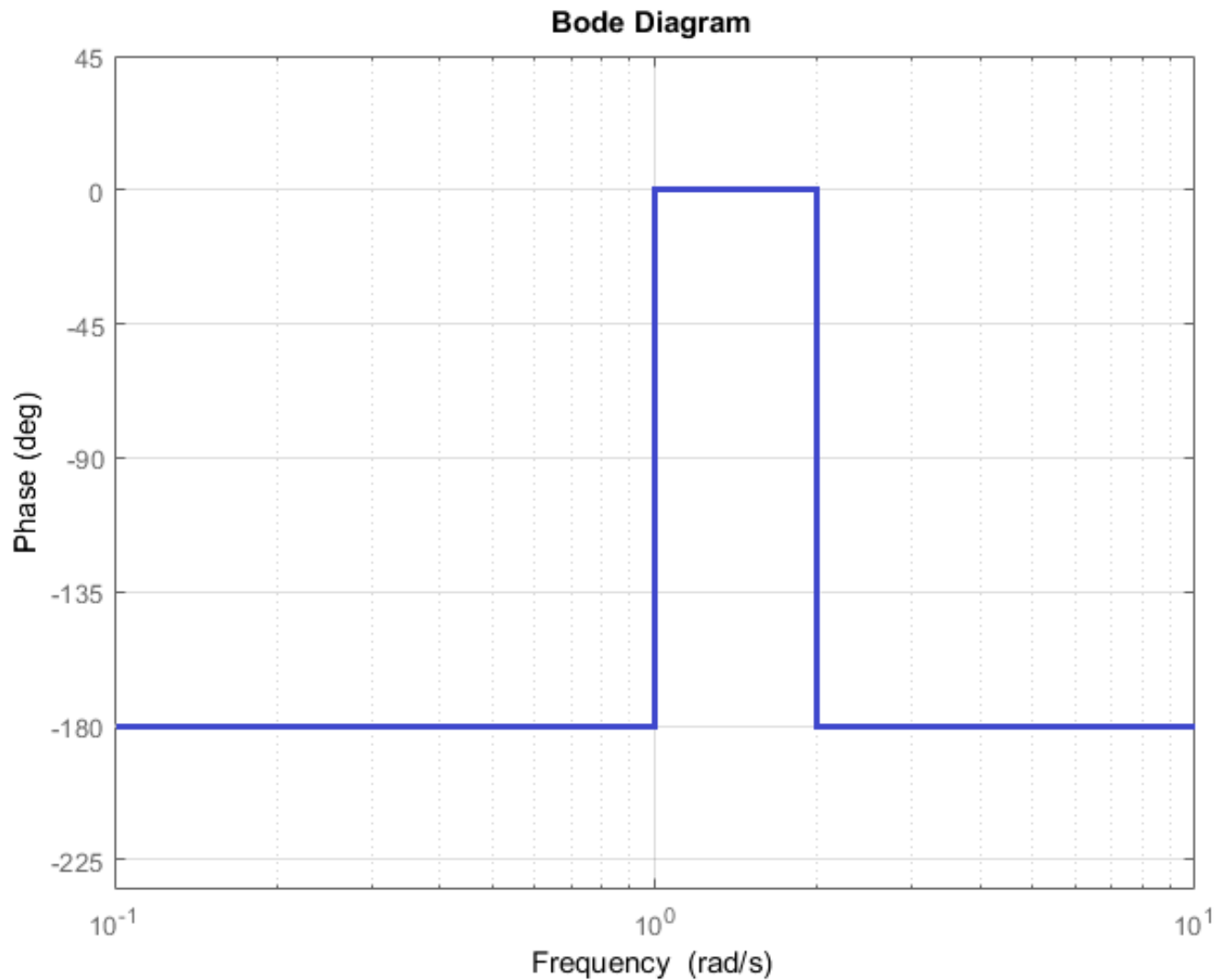
Exemplo 1 – Polos e zeros complexos

Variação e assíntotas de fase

Faixa de Frequência	Fase
$\omega = 0$ a $\omega = 1$	-180°
$\omega = 1$ a $\omega = 2$	0°
$\omega = 2$ a $\omega \rightarrow \infty$	-180°

Frequência	Valor assintótico de fase
$\omega = 0,1$	-180°
$\omega = 1$	-90°
$\omega = 2$	-90°
$\omega = 20$	-180°

Exemplo 1 – Polos e zeros complexos (Gráfico assintótico de fase)



Exemplo 1 – Polos e zeros complexos

Fase nas frequências de ressonância ($\omega_R=1$ e $\omega_R=2$)

$$\angle G(j\omega_R) = -\operatorname{tg}^{-1} \left(\frac{\sqrt{1-2\xi^2}}{\xi} \right)$$

$$\omega_R = 1 \rightarrow \angle G(j\omega_R) = -90,3^\circ$$

$$\omega_R = 2 \rightarrow \angle G(j\omega_R) = -90,6^\circ$$

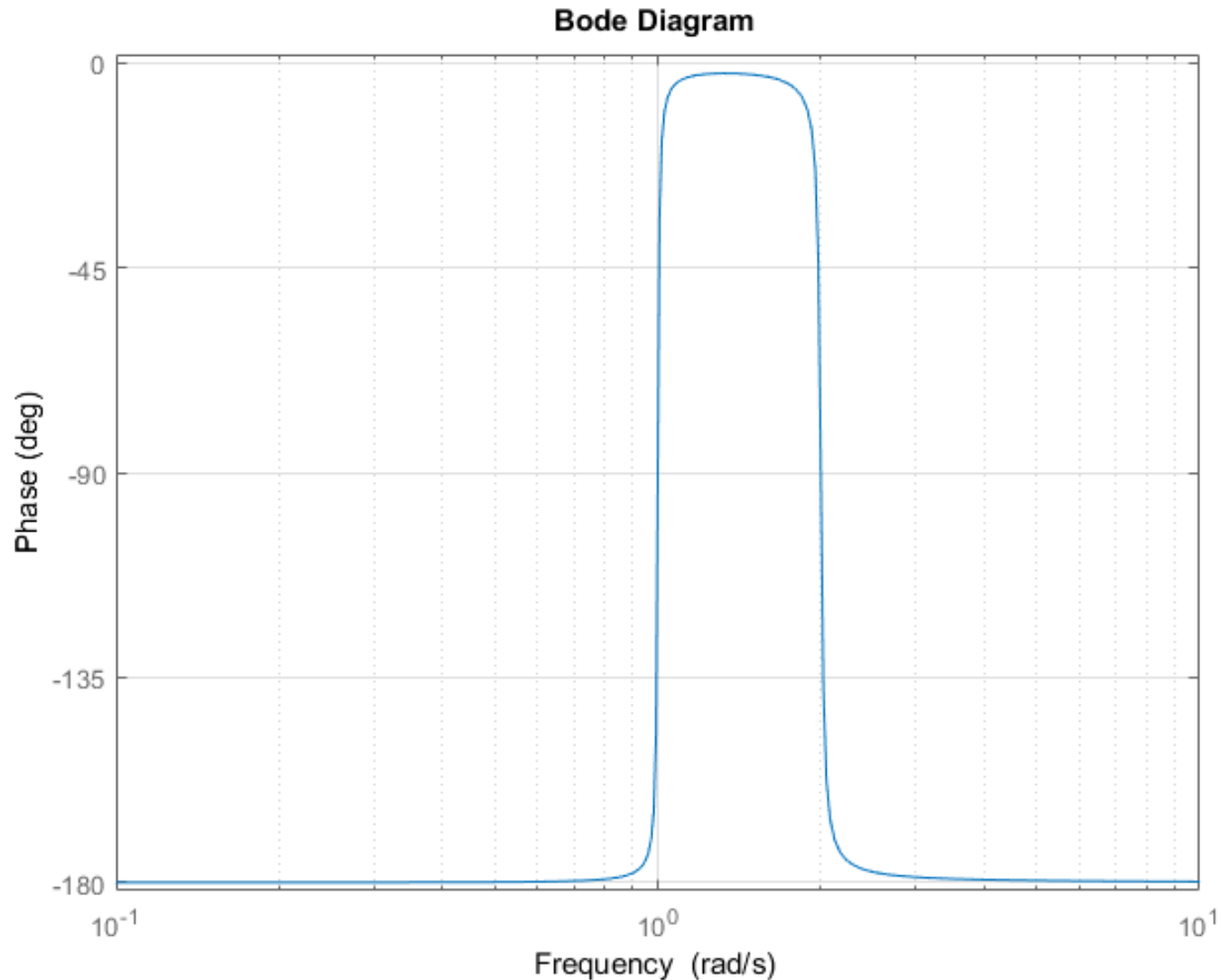
Uma vez que $\omega_R \approx \omega_n$, os valores de fase reais associados são aproximadamente iguais.

Exemplo 1 – Polos e zeros complexos

Valores reais e assintóticos de fase

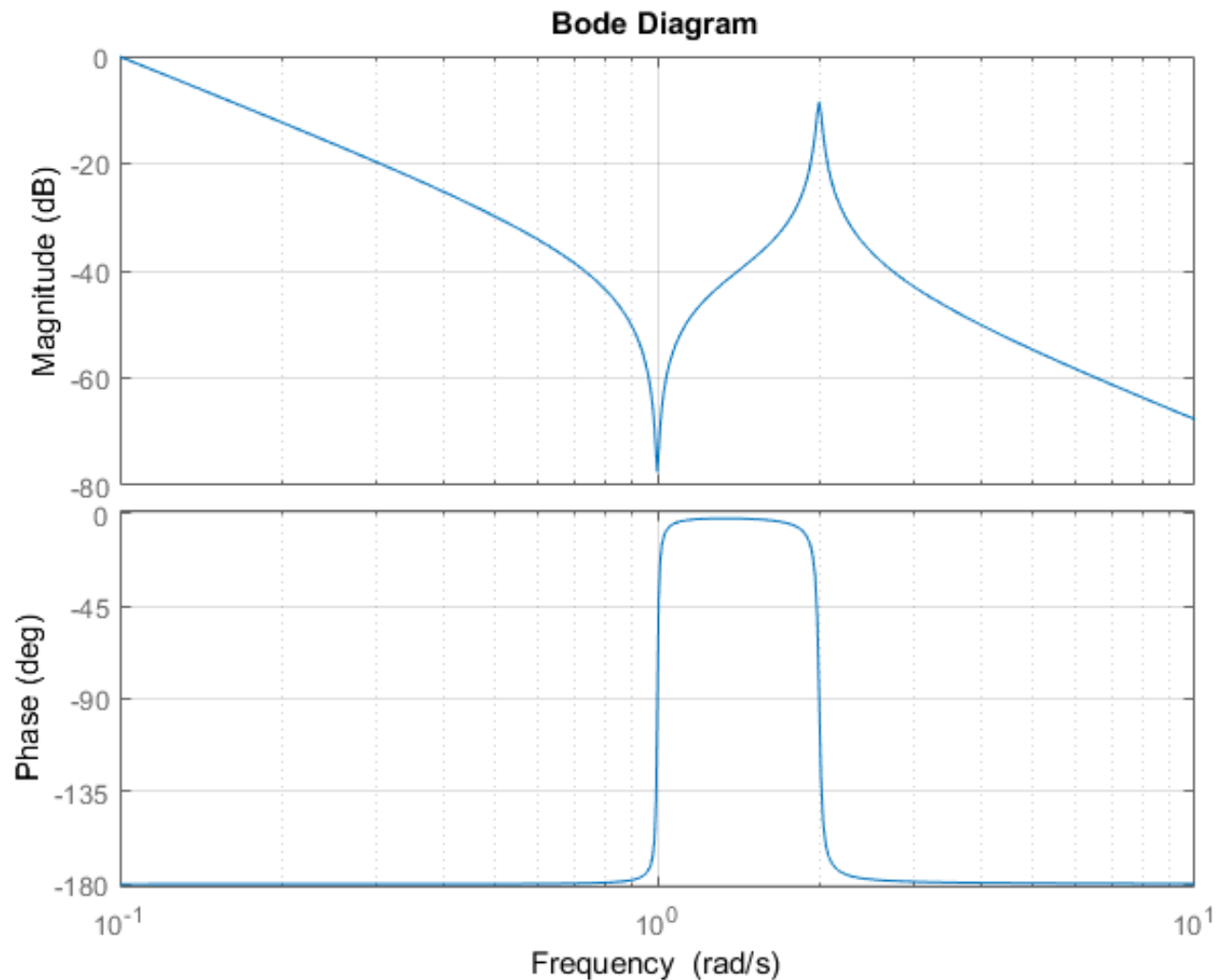
Frequência	Assintótico	Real
$\omega = 0,1$	-180°	-180°
$\omega = 1$	$-90,3^\circ$	$-90,7^\circ$
$\omega = 2$	$-90,6^\circ$	$-90,4^\circ$
$\omega = 20$	-180°	-180°

Exemplo 1 – Polos e zeros complexos (Gráfico de Fase)



Exemplo 1 – Polos e zeros complexos

Diagramas de Bode (módulo e fase)



Exemplo 2 – Polo de fase mínima x não mínima

Sejam os sistemas representados por G_1 (fase mínima) e G_2 (fase não mínima):

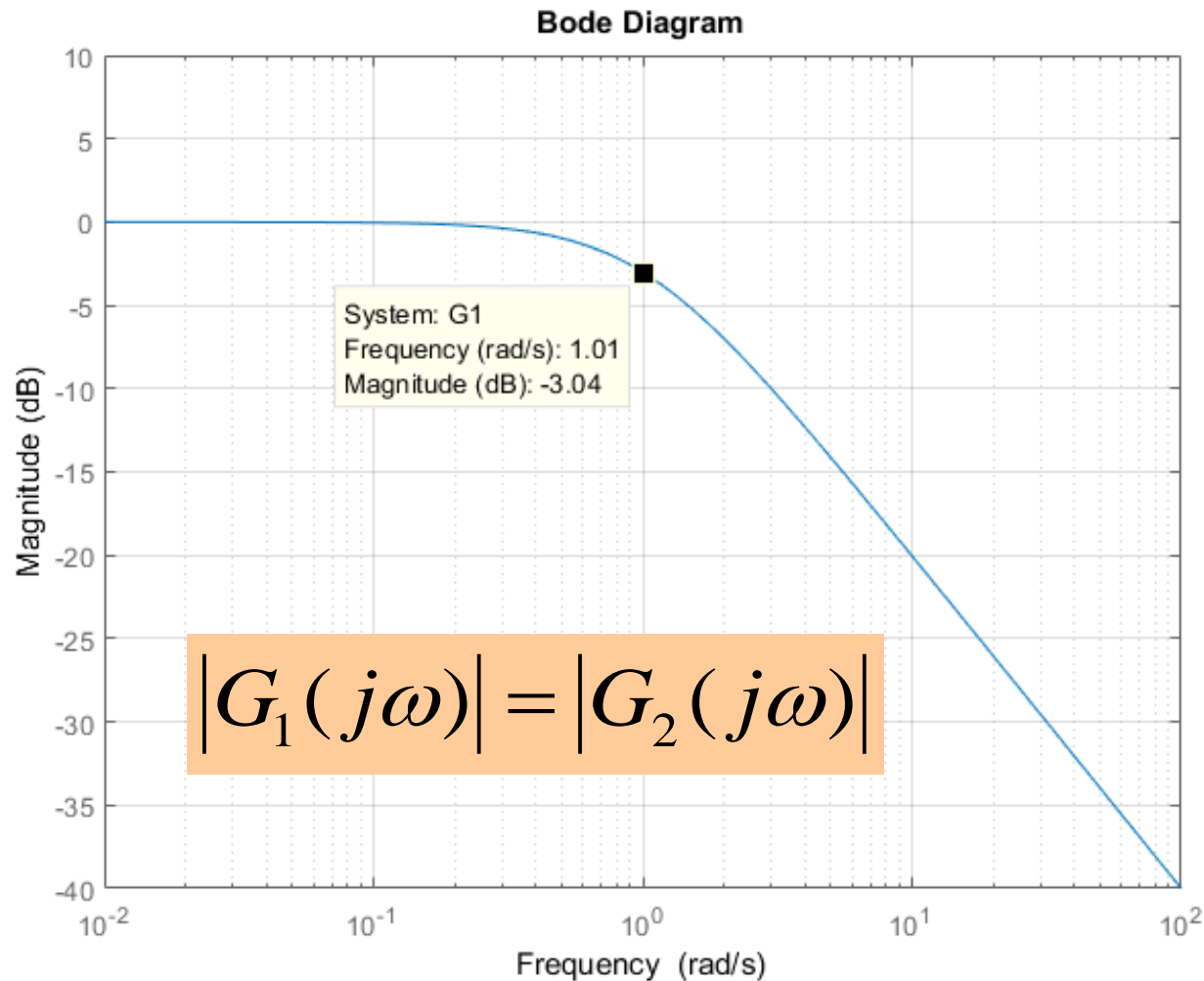
$$G_1(s) = \frac{1}{s+1} \Rightarrow G_1(j\omega) = \frac{1}{j\omega+1}$$

$$G_2(s) = \frac{1}{s-1} \Rightarrow G_2(j\omega) = \frac{1}{j\omega-1}$$

O módulo será o mesmo para as duas funções de transferências:

$$|G_1(j\omega)| = |G_2(j\omega)| = \frac{1}{\sqrt{1+\omega^2}}$$

Exemplo 2 – Polo de fase mínima x não mínima (Gráfico de Módulo)



Exemplo 2 – Polo de fase mínima x não mínima

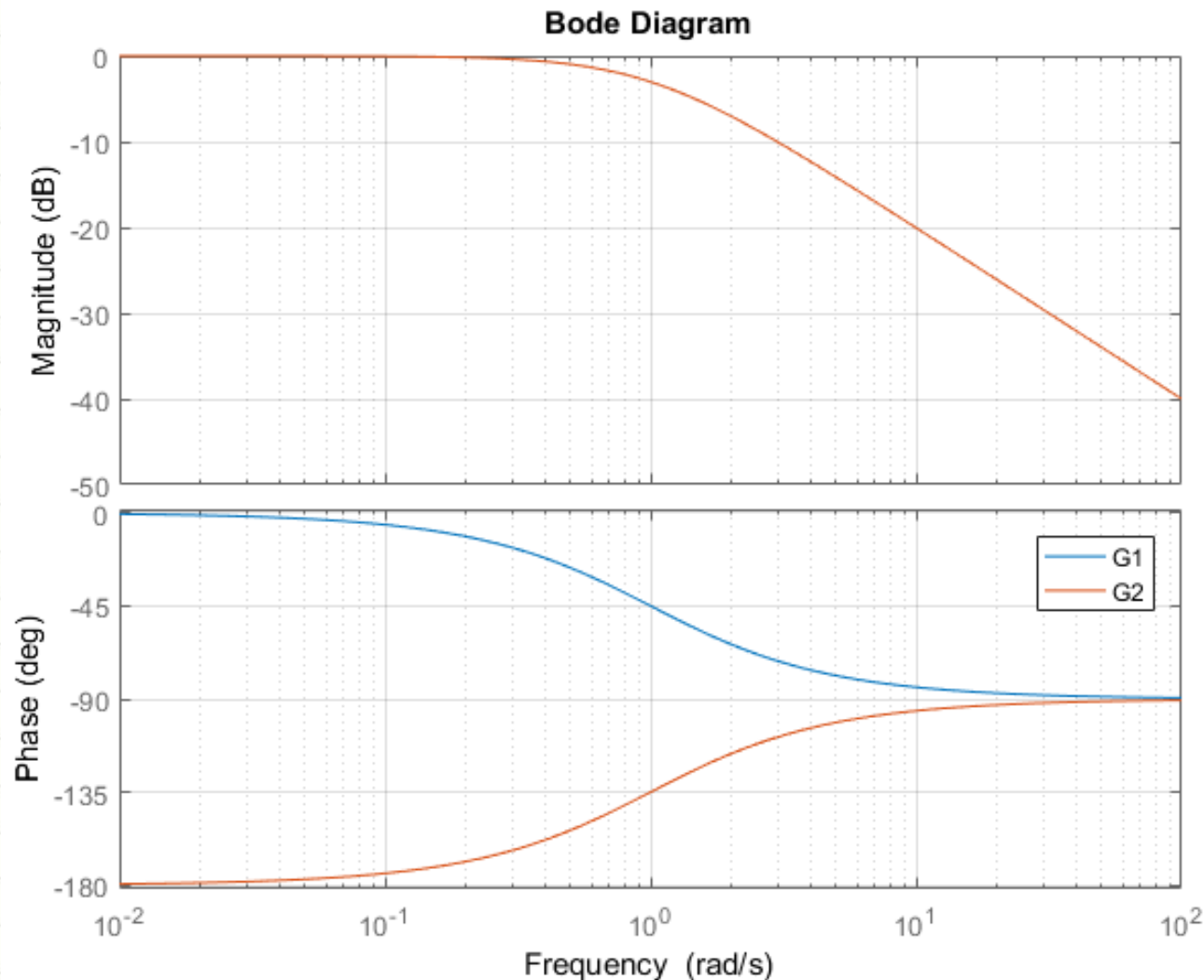
A fase de cada sistema será dada por:

$$\angle G_1(j\omega) = -\operatorname{tg}^{-1}\left(\frac{\omega}{1}\right) \quad \text{a fase varia de } 0 \text{ a } -90^\circ$$

$$\angle G_2(j\omega) = -\operatorname{tg}^{-1}\left(\frac{\omega}{-1}\right) \quad \text{a fase varia de } -180^\circ \text{ a } -90^\circ$$

Exemplo 2 – Polo de fase mínima x não mínima

Diagramas de Bode (módulo e fase)



$$G_1(s) = \frac{1}{s+1}$$

$$G_2(s) = \frac{1}{s-1}$$

Exemplo 3 – Zero de fase mínima x não mínima

Seja agora um sistema com zero de fase não mínima:

$$G_3(s) = \frac{s+1}{s+10} \Rightarrow G_3(j\omega) = \frac{1}{10} \frac{j\omega+1}{j(\omega/10)+1}$$

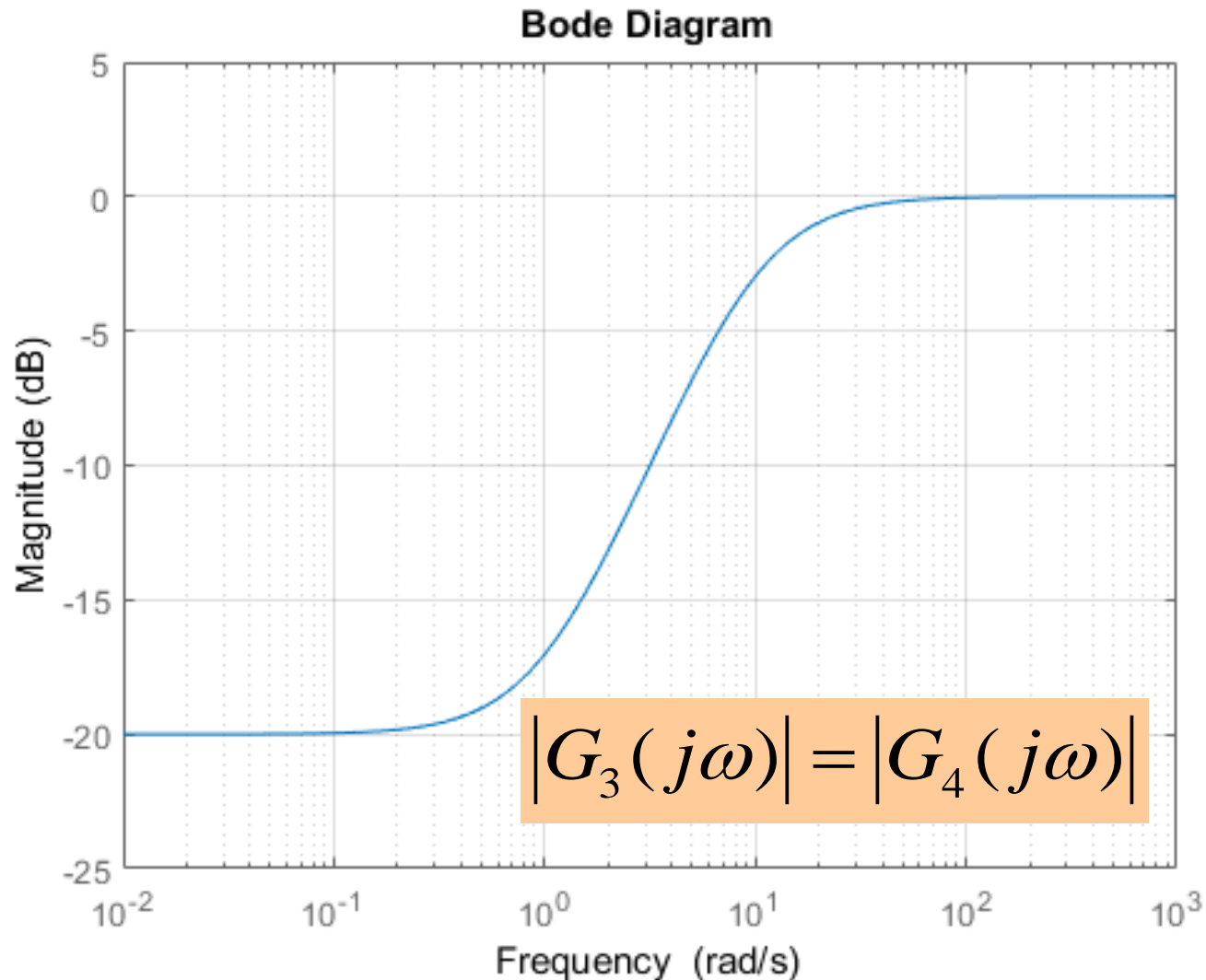
$$G_4(s) = \frac{s-1}{s+10} \Rightarrow G_4(j\omega) = \frac{1}{10} \frac{j\omega-1}{j(\omega/10)+1}$$

Exemplo 3 – Zero de fase mínima x não mínima

Novamente, o módulo será o mesmo para as duas funções:

$$|G_3(j\omega)| = |G_4(j\omega)| = 0,1 \frac{\sqrt{1 + \omega^2}}{\sqrt{1 + (\omega / 10)^2}}$$

Exemplo 3 – Zero de fase mínima x não mínima (Gráfico de Módulo)



Exemplo 3 – Zero de fase mínima x não mínima

Para a fase tem-se:

$$\angle G_3(j\omega) = \operatorname{tg}^{-1}\left(\frac{\omega}{1}\right) - \operatorname{tg}^{-1}\left(\frac{\omega/10}{1}\right)$$

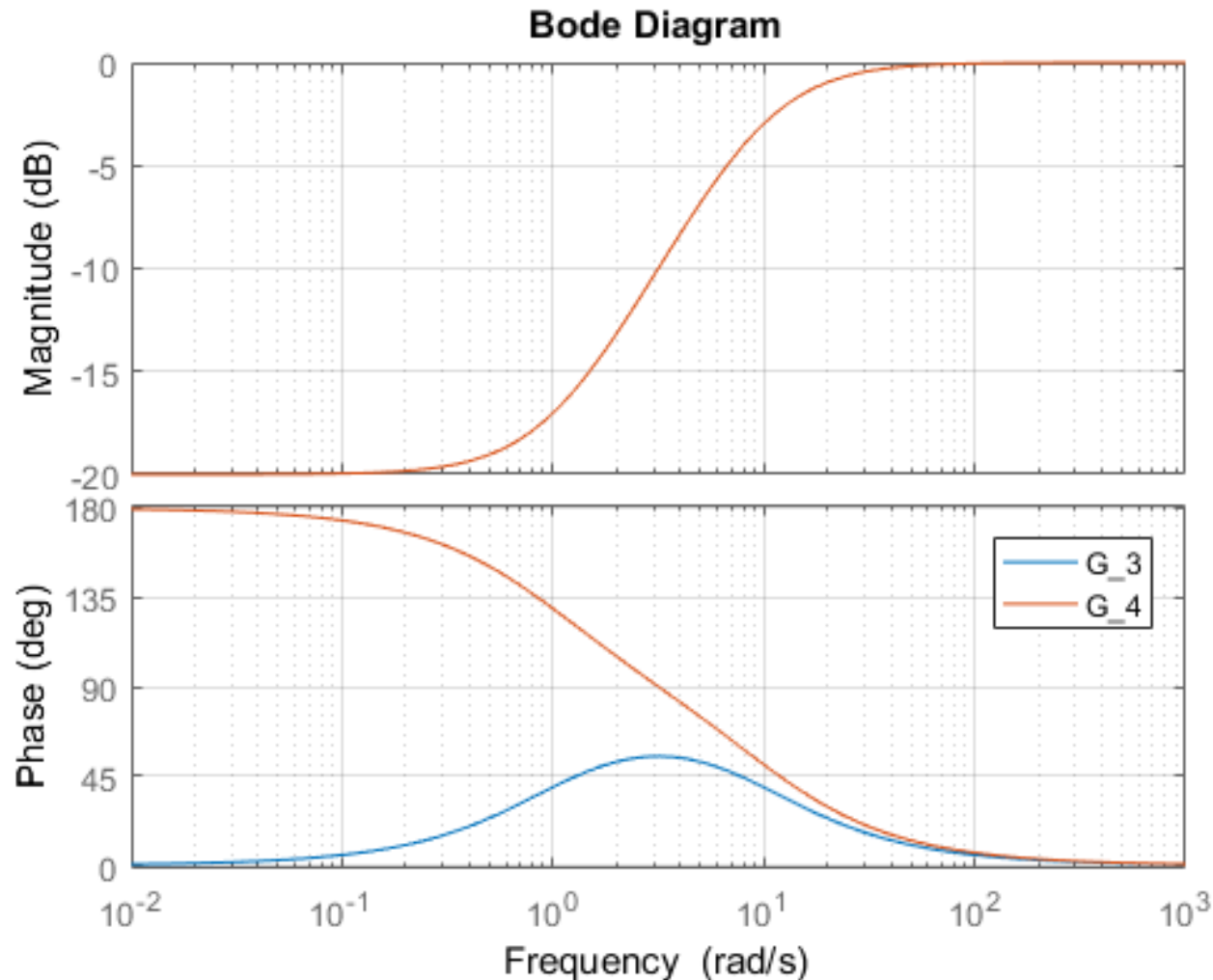
Para G_3 a fase varia de: $0 \rightarrow 90^\circ \rightarrow 0^\circ$

$$\angle G_4(j\omega) = \operatorname{tg}^{-1}\left(\frac{\omega}{-1}\right) - \operatorname{tg}^{-1}\left(\frac{\omega/10}{1}\right)$$

Para G_4 a fase varia de: $180^\circ \rightarrow 90^\circ \rightarrow 0^\circ$

Exemplo 3 – Zero de fase mínima x não mínima

Diagramas de Bode (módulo e fase)



$$G_3(s) = \frac{s+1}{s+10}$$

$$G_4(s) = \frac{s-1}{s+10}$$

Exemplo 4 – Polo de fase não mínima

Traçar os diagramas de Bode para:

$$G(s) = 1000 \frac{s + 1}{s(s - 10)(s + 100)}$$

$$G(j\omega) = \frac{1 + j\omega}{(j\omega) \left(-1 + j \frac{\omega}{10} \right) \left(1 + j \frac{\omega}{100} \right)}$$

Exemplo 4 – Polo de fase não mínima

Faixa de Frequência	Variação do Módulo
$\omega = 0$ a $\omega = 1$	Reta com inclinação -20 dB/dec
$\omega = 1$ a $\omega = 10$	Reta com inclinação 0 dB/dec
$\omega = 10$ a $\omega = 100$	Reta com inclinação -20 dB/dec
$\omega = 100$ a $\omega \rightarrow \infty$	Reta com inclinação -40 dB/dec

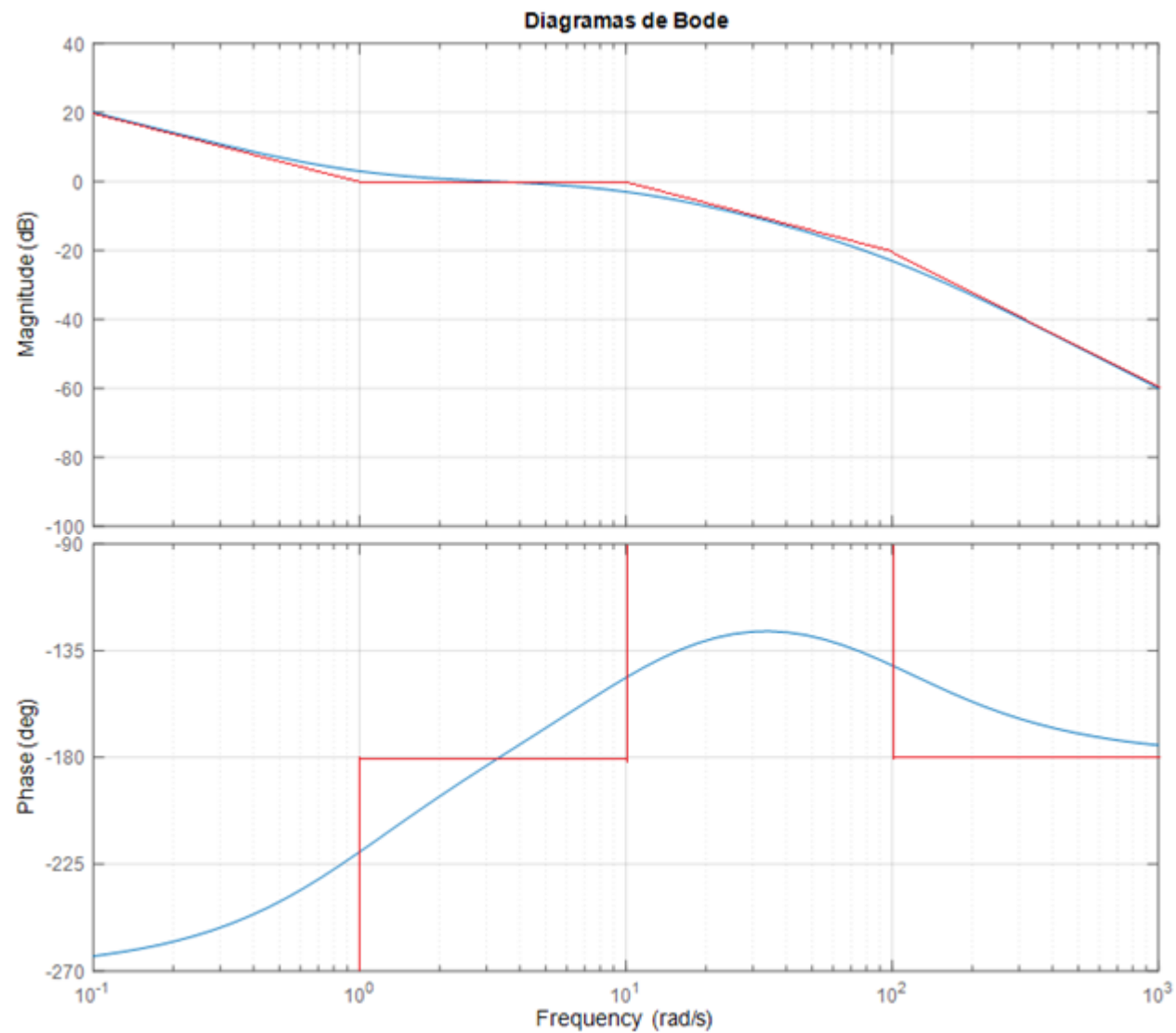
Frequência	Valor assintótico	Valor real
$\omega = 0,1$	20 dB	20 dB
$\omega = 1$	0 dB	3 dB
$\omega = 10$	0 dB	-3- dB
$\omega = 100$	-20 dB	-23 dB
$\omega = 1000$	-60 dB	-60 dB

Exemplo 4 – Polo de fase não mínima

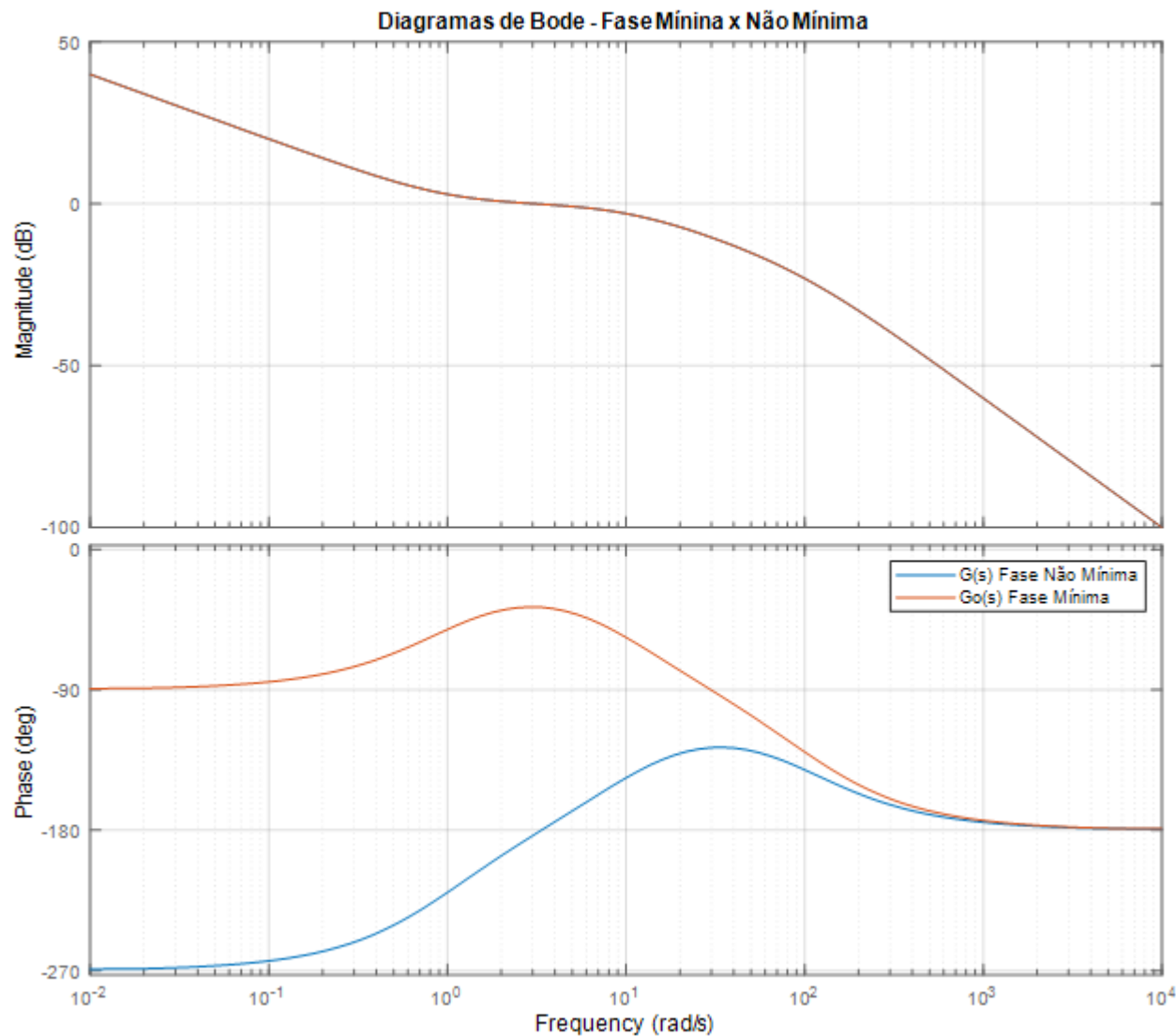
Faixa de Frequência	Variação de fase
$\omega = 0$ a $\omega = 1$	$-90^\circ - 180^\circ = -270^\circ$
$\omega = 1$ a $\omega = 10$	$-270^\circ + 90^\circ = -180^\circ$
$\omega = 10$ a $\omega = 100$	$-180^\circ + 90^\circ = -90^\circ$
$\omega = 100$ a $\omega \rightarrow \infty$	$-90^\circ - 90^\circ = -180^\circ$

Frequência	Valor assintótico	Valor real
$\omega = 0,1$	-270°	-264°
$\omega = 1$	-225°	-220°
$\omega = 10$	-135°	-146°
$\omega = 100$	-135°	-141°
$\omega = 1000$	-180°	-175°

Exemplo 4 – Polo de fase não mínima



Exemplo 4 – Fase mínima x não mínima



Exemplo 5 – Fase não mínima e pico de ressonância

Traçar os diagramas de Bode para:

$$G(s) = 2500 \frac{s^2 - 0,2s + 1}{s(s + 50)^2}$$

ou

$$G(j\omega) = \frac{1 - 2 \times 0,1 j\omega + (j\omega)^2}{(j\omega) \left(1 + j \frac{\omega}{50} \right)^2}$$

$$\begin{cases} \xi = 0,1 \\ \omega_n = 1 \end{cases}$$

Exemplo 5 – Fase não mínima e pico de ressonância

Variação de Módulo

Faixa de Frequência	Variação do Módulo
$\omega = 0$ a $\omega = 1$	Reta com inclinação -20 dB/dec
$\omega = 1$ a $\omega = 50$	Reta com inclinação +20 dB/dec
$\omega = 50$ a $\omega \rightarrow \infty$	Reta com inclinação -20 dB/dec

Frequência	Valor assintótico	Valor real
$\omega = 0,1$	20 dB	19,9 dB
$\omega = 1$	0 dB	-14 dB
$\omega = 10$	20 dB	19,6 dB
$\omega = 50$	34 dB	28 dB
$\omega = 100$	26 dB	26 dB
$\omega = 1000$	8 dB	8 dB

Exemplo 5 – Fase não mínima e pico de ressonância

Cálculo dos valores assintóticos de módulo

$$\omega = 0,1 \Rightarrow 20 \log(K) - 20 \log(\omega) = 20$$

$$\omega = 1 \Rightarrow 20 \log(K) - 20 \log(\omega) = 0$$

$$\omega = 50$$

$$20 \log(K) - 20 \log(\omega) + 20 \log(\sqrt{(1 - \omega^2)^2 + (0,2\omega)^2}) = 34$$

$$\omega = 100$$

$$20 \log(K) - 20 \log(\omega) + 20 \log(\sqrt{(1 - \omega^2)^2 + (0,2\omega)^2}) + \\ - 40 \log(\sqrt{1 + (\omega/50)^2}) = 26$$

$$\omega = 1000 \rightarrow 8\text{dB}$$

Exemplo 5 – Fase não mínima e pico de ressonância

Pico de Ressonância

$$\omega_n = 1 \rightarrow \omega_R = \omega_n \sqrt{1 - 2\xi^2} \approx 1$$

$$M_R = 5,02 \quad \text{ou} \quad 14\text{dB}$$

$$\omega = 0,1 \Rightarrow 20\log(K) - 20\log(\omega) = 20$$

Em $\omega=1$ ocorre o primeiro pico de ressonância.

Nesta frequência o valor de módulo é $0 - 14 = -14$ dB.


valor assintótico pico de ressonância

Exemplo 5 – Fase não mínima e pico de ressonância

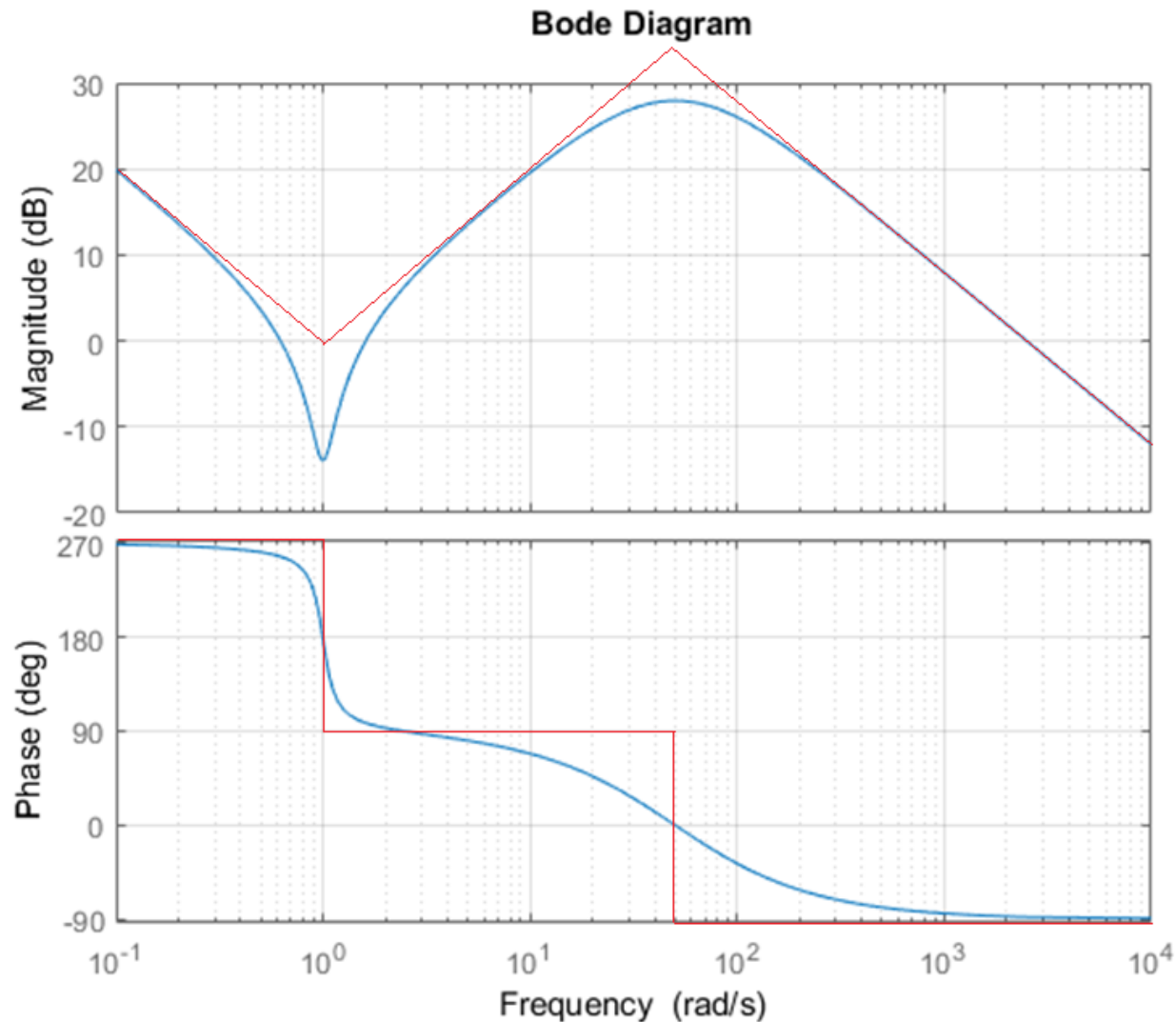
Variação de Fase

Faixa de Frequência	Variação de fase
$\omega = 0$ a $\omega = 1$	$-90^\circ + 2 \times 180^\circ = 270^\circ$
$\omega = 1$ a $\omega = 50$	$270^\circ - 180^\circ = 90^\circ$
$\omega = 2$ a $\omega \rightarrow \infty$	$90^\circ - 180^\circ = -90^\circ$

Frequência	Valor assintótico	Valor real
$\omega = 0,1$	270°	271°
$\omega = 1$	180°	178°
$\omega = 50$	0°	$0,3^\circ$
$\omega = 1000$	-90°	$-84,7^\circ$

Exemplo 5 – Fase não mínima e pico de ressonância

Diagramas de Bode (assintótico e real)



Exemplo 5 – Fase não mínima e pico de ressonância

Diagramas de Bode (MATLAB)

